

6. R. H. Barnes. J. Appl. Phys., 1967, v. 38, 12, 4629.  
 7. P. W. Bridgeman. Phys. Rev., 1935, 48, 8923.  
 8. P. J. Thouvenin. J. de Phys., 1966, 27, 3—4, 183.  
 9. J. F. Heyda. Symp. High Dynamic Pressure. Paris, Sept. 1967.

УДК 534.222.2

## ВНУТРЕННИЙ ОТКОЛ В ТОНКИХ ОБОЛОЧКАХ ПРИ ВЗРЫВЕ НА ИХ ПОВЕРХНОСТИ СЛОЯ ВВ

*В. П. Андреев, Н. М. Когдов*

(Москва)

Решается задача определения толщины и скорости отколовшегося слоя внутренней поверхности оболочки при действии импульсивной нагрузки от взрыва слоя взрывчатого вещества на ее внешней поверхности. Указанное явление исследовалось экспериментально в работах [1—3], однако теоретическое исследование данного явления в литературе не встречается.

Детонационная волна предполагается нормальной, и в решении используются известные законы движения детонационной волны и продуктов взрыва (ПВ) за детонационной волной.

Задача решается в линейной постановке (без учета боковых разгрузок) и в акустическом приближении с использованием степенного уравнения состояния

$$p = B \rho^m, \quad (1)$$

где  $p$  — давление в продуктах взрыва;  $\rho$  — плотность продуктов взрыва, а постоянные  $B$  и  $m$  подбираются из эксперимента. Используя условия Жуте  $u+c=D$  и условия сохранения массы и импульса, можно получить на детонационной волне соотношения:

$$\begin{aligned} u_{01} &= \frac{1}{m+1} D, \\ c_{01} &= \frac{m}{m+1} D, \\ \rho_{01} &= \frac{m+1}{m} \rho_{00}, \\ p_{01} &= \frac{1}{m+1} \rho_{00} D^2, \end{aligned} \quad (2)$$

где  $D$  — скорость детонационной волны;  $\rho_{00}$  — плотность ВВ;  $u_{01}$ ,  $c_{01}$ ,  $\rho_{01}$ ,  $p_{01}$  — массовая скорость, скорость звука, плотность и давление во фронте детонационной волны соответственно. Уравнение состояния (1) при этом примет вид

$$p = \frac{m^m}{(m+1)^{m+1}} \frac{D^2}{\rho_{00}^{m-1}} \rho_m.$$

Рассмотрим, как ведут себя характеристики и инварианты Римана в области ПВ (область I на рис. 1). В нашем случае

$$\left. \begin{aligned} I_+ &= u_1 + \frac{2}{m-1} c_1, \\ I_- &= u_1 - \frac{2}{m-1} c_1, \end{aligned} \right\} \quad (3)$$

а  $c_+$  — характеристика, задаваемая уравнением

$$\frac{dx}{dt} \Big|_{c_+} = u_{01} + c_{01} = D,$$

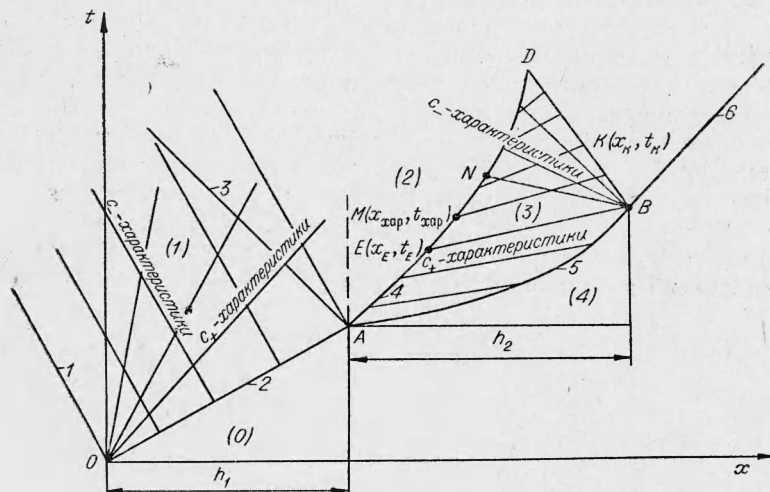


Рис. 1.  $x-t$ -диаграмма процесса движения в ВВ и оболочке.

1 — фронт разлета ПВ в вакууме; 2 — фронт детонационной волны; 3 — фронт ударной волны в ПВ; 4 — граница раздела вещества оболочки и ПВ; 5 — ударная волна в веществе оболочки; 6 — свободная граница оболочки.

являясь прямой, совпадает с фронтом детонационной волны. На границе разлетающихся продуктов взрыва  $c_1=0$  и, согласно (3),

$$I_+ = I_- = \text{const.}$$

Это говорит о том, что крайняя  $c_+$ -характеристика будет совпадать с границей разлетающихся продуктов взрыва и задаваться уравнением

$$x = u_{\text{разл}} t.$$

Таким образом,  $c_+$ -характеристики образуют в точке 0 (см. рис. 1) веер прямых, на которых  $I_+$  изменяется от значения  $i_+ = \frac{3m-1}{(m+1)(m-1)} D$  до значения  $u_{\text{разл}}$ , т. е. можно записать

$$u_1 + c_1 = \frac{x}{t}. \quad (4)$$

На детонационной волне, согласно (2) и (3),

$$I_- = u_1 - \frac{2}{m-1} c_1 = -\frac{1}{m-1} D. \quad (5)$$

Соотношения (4) и (5) позволяют определить значения массовой скорости и скорости звука в области (1):

$$\left. \begin{aligned} u_1 &= \frac{2}{m+1} \frac{x}{t} - \frac{1}{m+1} D, \\ c_1 &= \frac{m-1}{m+1} \frac{x}{t} + \frac{1}{m+1} D. \end{aligned} \right\} \quad (6)$$

После выхода детонационной волны на границу с веществом оболочки от границы раздела пойдут ударные волны в вещество оболочки и продукты взрыва. Поскольку ударная волна в ПВ движется по разлетающимся продуктам взрыва, то давление и скорость звука за ней будут падать. Возмущение, двигаясь со скоростью  $u+c>D_{3,4}$ , где  $D_{3,4}$  — скорость фронта ударной волны в оболочке, будет догонять фронт волны и приводить к его затуханию. В результате этого ударная волна в оболочке будет двигаться замедленно.

Решается задача путем двух приближений. В первом приближении считаем, что ВВ бесконечной толщины, и расчет ведем для «ступеньки». Неизвестные массовые скорости и скорости звука в областях (2) и (3) (см. рис. 1)  $u_2, c_2, u_3, c_3$  определим из условия сохранения инвариантов Римана при переходе через ударные волны и из условий равенства массовых скоростей и давлений на границе раздела областей. Тогда

$$c_2 = \frac{3m-1}{2(m+1)} D - \frac{m-1}{2} u_3,$$

$$c_3 = c_0 + \frac{n-1}{2} u_3;$$

$$u_3 = \frac{\frac{3m+1}{2m} \rho_{00} D + \rho_0 c_0}{\frac{n+1}{2} \rho_0 - \frac{(m+1)^2}{2m} \rho_{00}} +$$

$$+ \left\{ \left[ \frac{\frac{3m+1}{2m} \rho_{00} D + \rho_0 c_0}{\frac{n+1}{2} \rho_0 - \frac{(m+1)^2}{2m} \rho_{00}} \right]^2 + \frac{\frac{9m+1}{4m(m+1)} \rho_{00} D^2}{\frac{n+1}{4} \rho_0 - \frac{(m+1)^2}{4m} \rho_{00}} \right\}^{1/2},$$

где  $n$  — показатель степени в степенном уравнении состояния вещества оболочки вида  $p = A \rho^n + B$ .

Из условия акустического приближения

$$D_{1,2} = \frac{5m-3}{4(m+1)} D + \frac{m+1}{4} u_3,$$

$$D_{3,4} = c_0 + \frac{n+1}{4} u_3,$$

где  $D_{1,2}$  — скорость ударной волны, идущей в ПВ;  $D_{3,4}$  — скорость ударной волны в оболочке.

Перейдем к вычислению поправки на разлет продуктов взрыва за детонационной волной. Для этого в каждой области движения разло-

жим функции скоростей в ряд Тейлора, ограничиваясь малыми первого порядка, т. е. представим их в виде:

$$\begin{aligned}\bar{u}_i &= u_i + \left(\frac{\partial u}{\partial x}\right)_i \Delta x + \left(\frac{\partial u}{\partial t}\right)_i \Delta t, \\ \bar{c}_i &= c_i + \left(\frac{\partial c}{\partial x}\right)_i \Delta x + \left(\frac{\partial c}{\partial t}\right)_i \Delta t,\end{aligned}\quad (7)$$

где  $i=2, 3$  — индекс области.

Для нахождения неизвестных  $\left(\frac{\partial u}{\partial x}\right)_i, \left(\frac{\partial u}{\partial t}\right)_i, \left(\frac{\partial c}{\partial x}\right)_i, \left(\frac{\partial c}{\partial t}\right)_i$  можно записать алгебраическую систему восьми уравнений, причем подобные величины в области (1) определяем, линеаризуя выражения (6) так, чтобы скорости совпадали при  $x=0, t=\frac{h_1}{D}$  и  $x=h_1$ , где  $h_1$  — толщина слоя ВВ, прилегающего к оболочке толщиной  $h_2$ .

$$\begin{aligned}\frac{2}{m-1} \left[ \left( \frac{\partial c}{\partial t} \right)_2 + u_3 \left( \frac{\partial c}{\partial x} \right)_2 \right] + c_2 \left( \frac{\partial u}{\partial x} \right)_2 &= 0, \\ \left( \frac{\partial u}{\partial t} \right)_2 + u_3 \left( \frac{\partial u}{\partial x} \right)_2 + \frac{2}{m-1} c_2 \left( \frac{\partial c}{\partial x} \right)_2 &= 0; \\ \frac{2}{n-1} \left[ \left( \frac{\partial c}{\partial t} \right)_3 + u_3 \left( \frac{\partial c}{\partial x} \right)_3 \right] + c_3 \left( \frac{\partial u}{\partial x} \right)_3 &= 0, \\ \left( \frac{\partial u}{\partial t} \right)_3 + u_3 \left( \frac{\partial u}{\partial x} \right)_3 + \frac{2}{n-1} c_3 \left( \frac{\partial c}{\partial x} \right)_3 &= 0, \\ \left( \frac{\partial u}{\partial t} \right)_2 + u_3 \left( \frac{\partial u}{\partial x} \right)_2 &= \left( \frac{\partial u}{\partial t} \right)_3 + u_3 \left( \frac{\partial u}{\partial x} \right)_3, \quad (8) \\ \left( \frac{\partial c}{\partial t} \right)_2 + u_3 \left( \frac{\partial c}{\partial x} \right)_2 &= \frac{(m-1) \left( \frac{3m-1}{2(m+1)} D - \frac{m-1}{2} u_3 \right) \left( c_0 + \frac{n-1}{2} u_3 \right)}{m(n-1) u_3 \left( c_0 + \frac{n-3}{4} u_3 \right)} \times \\ &\times \left( \frac{\partial c}{\partial t} \right)_3 + u_3 \left( \frac{\partial c}{\partial x} \right)_3, \\ \left( \frac{\partial u}{\partial t} \right)_2 + D_{1,2} \left( \frac{\partial u}{\partial x} \right)_2 + \frac{2}{m-1} \left[ \left( \frac{\partial c}{\partial t} \right)_2 + D_{1,2} \left( \frac{\partial c}{\partial x} \right)_2 \right] &= \frac{4}{m+1} \cdot \frac{D}{h_1} D_{1,2}, \\ \left( \frac{\partial u}{\partial t} \right)_3 + D_{3,4} \left( \frac{\partial u}{\partial x} \right)_3 - \frac{2}{n-1} \left[ \left( \frac{\partial c}{\partial t} \right)_3 + D_{3,4} \left( \frac{\partial c}{\partial x} \right)_3 \right] &= 0.\end{aligned}$$

Первые четыре уравнения системы (8) есть уравнения движения в областях (2) и (3), записанные для степенного уравнения состояния. Остальные уравнения получены дифференцированием условий равенства массовых скоростей и давлений на границе раздела областей и условий сохранения инвариантов Римана при переходе через ударные волны.

Решив систему (8), получим следующие значения для производных в области (3):

$$\begin{aligned}\left( \frac{\partial u}{\partial x} \right)_3 &= \frac{2}{n-1} \frac{a}{h_1}, \\ \left( \frac{\partial u}{\partial t} \right)_3 &= - \frac{2 D_{3,4}}{n-1} \frac{a}{h_1}, \\ \left( \frac{\partial c}{\partial x} \right)_3 &= \frac{a}{h_1},\end{aligned}\quad (9)$$

$$\left( \frac{\partial c}{\partial t} \right)_3 = - \frac{a}{h_1} D_{3,4},$$

где  $a$  задается формулой

$$a = \frac{2m(n-1)D u_3 D_{1,2} c_2 (D_{3,4} - u_3)}{(m+1)c_3(c_2 - D_{1,2} + u_3)[c_2 c_3 + m u_3 (D_{3,4} - u_3)]}.$$

На основании (7) и (9) можно записать значения массовой скорости и скорости звука в веществе оболочки с учетом разгрузки от разлетающихся продуктов взрыва:

$$\begin{aligned} \bar{u}_3 &= u_3 + \frac{2}{n-1} \frac{a}{h_1} \left[ x - h_1 - \left( c_0 + \frac{n+1}{2} u_3 \right) \left( t - \frac{h_1}{D} \right) \right], \\ \bar{c}_3 &= c_0 + \frac{n-1}{2} u_3 + \frac{a}{h_1} \left[ x - h_1 - \left( c_0 + \frac{n+1}{2} u_3 \right) \left( t - \frac{h_1}{D} \right) \right]. \end{aligned} \quad (10)$$

Выражения (10) позволяют найти закон движения границы раздела ПВ — вещества оболочки и значения массовой скорости и скорости звука на этой границе.

Проинтегрировав уравнение

$$\frac{dx_{\text{ПВ}}}{dt} = u_3 + \frac{2}{n-1} \frac{a}{h_1} \left[ x_{\text{ПВ}} - h_1 - \left( c_0 + \frac{n+1}{2} u_3 \right) \left( t - \frac{h_1}{D} \right) \right]$$

при начальных условиях  $t = \frac{h_1}{D}$ ,  $x = h_1$  и ограничиваясь в разложении малыми второго порядка, получим следующий закон движения границы:

$$x_{\text{ПВ}} = h_1 + u_3 \left( t - \frac{h_1}{D} \right) - \frac{1}{n-1} \frac{a}{h_1} \left( c_0 + \frac{n-1}{2} u_3 \right) \left( t - \frac{h_1}{D} \right)^2.$$

При этом массовая скорость и скорость звука на границе примут вид:

$$\begin{aligned} u_{\text{рп}} &= u_3 - \frac{2}{n-1} \frac{a}{h_1} \left( c_0 + \frac{n-1}{2} u_3 \right) \left( t - \frac{h_1}{D} \right), \\ c_{\text{рп}} &= c_0 + \frac{n-1}{2} u_3 - \frac{a}{h_1} \left( c_0 + \frac{n-1}{2} u_3 \right) \left( t - \frac{h_1}{D} \right). \end{aligned}$$

Дойдя до свободной границы, ударная волна отразится от нее, и в оболочку пойдет волна разрежения. В точке  $B$  (точка выхода ударной волны на свободную поверхность, см. рис. 1) возникает веер  $c$ -характеристик волны разрежения, на которых  $u$  и  $c$  начинают уменьшаться. Поскольку вещество оболочки обладает прочностью на разрыв, то откол возникнет не в точке  $B$ , а в некоторой точке  $K$  ( $x_K, t_K$ ), лежащей на крайней  $c$ -характеристике веера. Таким образом, задача свелась к определению координат точки  $K$ . Прежде всего определим скорость движения свободной границы после выхода ударной волны на ее поверхность. Из системы уравнений

$$\begin{aligned} u_E &= u_{\text{рп}}(t_E), \\ c_E &= c_{\text{рп}}(t_E) = c_0 + \frac{n-1}{2} u_E, \\ x_E &= \int_0^{t_E} u_{\text{рп}}(t) dt, \\ x_E - h &= (u + c_E)(t_E - t_B) \quad (h = h_1 + h_2), \end{aligned}$$

$$h_2 = \int_{t_1}^{t_B} D_{3,4}(t) dt,$$

в которой четвертое уравнение есть уравнение  $c_+$ -характеристики, проходящей через точки  $E$  и  $B$  (см. рис. 1), определяем массовую скорость в точке  $E$ . Скорость в точке  $B$  равна удвоенной массовой скорости в точке  $E$  [2].

Используя условия сохранения инвариантов Римана при переходе через ударные волны, уравнение крайней  $c_-$ -характеристики веера волны разрежения и  $c_+$ -характеристики, проходящей через точку  $K$ , получим систему уравнений для определения координат точки  $K$ :

$$\begin{aligned} u_k - \frac{2}{n-1} c_K &= 2 u_E - \frac{2}{n-1} c_0, \\ u_k + \frac{2}{n-1} c_K &= u_{\text{xap}} + \frac{2}{n-1} c_{\text{xap}}, \\ u_{\text{xap}} - \frac{2}{n-1} c_{\text{xap}} &= - \frac{2}{n-1} c_0, \\ u_{\text{xap}} &= u_{\text{rp}}(t_{\text{xap}}), \\ x_{\text{xap}} &= \int_{t_1}^{t_{\text{xap}}} u_{\text{rp}}(t) dt, \\ x_K - h &= (2 u_E - c_0)(t_K - t_B), \\ x_K - x_{\text{xap}} &= (u_{\text{xap}} + c_{\text{xap}})(t_K - t_{\text{xap}}). \end{aligned} \quad (11)$$

Из системы (11) найдем неизвестные координаты точки  $K(x_K, t_K)$ , в которой произойдет откол. Знание координат этой точки позволяет определить глубину выколовшегося слоя и толщину откола, для которых получаются следующие формулы:

$$\begin{aligned} \Delta h_r &= h - x_K = \\ &= h \frac{\sigma_{kp} a_3 \left(a \frac{h_2}{h_1}\right)^3 + a_2 \left(a \frac{h_2}{h_1}\right)^2 + a_1 \left(a \frac{h_2}{h_1}\right) + a_0}{\rho_0 a \frac{h_2}{h_1} D_{3,4} \left(c_0 + \frac{n-1}{2} u_3\right) \left[b_2 \left(a \frac{h_2}{h_1}\right)^2 + b_1 \left(a \frac{h_2}{h_1}\right) + b_0\right]}, \\ \Delta h_{\text{отк}} &= h + 2 u_E t_K - x_K = \\ &= \frac{\Delta h_r c_0 \left(D_{3,4} + \frac{n+1}{n-1} a \frac{h^2}{h_1}\right)}{D_{3,4} (c_0 - 2 u_3) + (c_0 - u_3) \frac{n+1}{n-1} a \frac{h_2}{h_1}}, \end{aligned}$$

где

$$\begin{aligned} a_3 &= \frac{(n+1)^3}{2(n-1)^2} \left(c_0 + \frac{n-1}{2} u_3\right) (c_0 - u_3); \\ a_2 &= \frac{(n+1)^2}{2(n-1)} D_{3,4} \left[\left(c_0 + \frac{n-1}{2} u_3\right) (c_0 - 2 u_3) + \right. \\ &\quad \left. + 2 \left(c_0 + \frac{n-2}{4} u_3\right) (c_0 - u_3) - \frac{n+1}{2} \frac{\sigma_{kp}}{\rho_0}\right]; \\ a_1 &= \frac{n+1}{2} D_{3,4}^2 \left[2 \left(c_0 + \frac{n-2}{4} u_3\right) (c_0 - 2 u_3) + \right. \\ &\quad \left. + \frac{n+1}{2} \left(c_0 + \frac{n-1}{2} u_3\right) (c_0 - u_3)\right]; \end{aligned}$$

$$\begin{aligned}
& + \left( c_0 + \frac{n-1}{2} u_3 \right) (c_0 - u_3) - \frac{3(n+1)}{4} \frac{\sigma_{kp}}{\rho_0} \Big]; \\
a_0 &= \frac{n-1}{2} D_{3,4}^3 \left[ \left( c_0 + \frac{n-1}{2} u_3 \right) (c_0 - 2 u_3) - \frac{n+1}{4} \frac{\sigma_{kp}}{\rho_0} \right]; \\
b_2 &= \frac{(n+1)^2}{(n-1)^2} \left[ \left( 2 c_0 + \frac{n-4}{2} u_3 \right) (c_0 - u_3) - \frac{n+1}{4} \frac{\sigma_{kp}}{\rho_0} \right]; \\
b_1 &= \frac{n+1}{n-1} D_{3,4} \left[ \left( 2 c_0 + \frac{n-3}{2} u_3 \right) (c_0 - 2 u_3) + \right. \\
& + \left. \left( 2 c_0 + \frac{n-4}{2} u_3 \right) (c_0 - 2 u_3) - \frac{5(n+1)}{4} \frac{\sigma_{kp}}{\rho_0} \right]; \\
b_0 &= D_{3,4}^2 \left[ \left( 2 c_0 + \frac{n-3}{2} u_3 \right) (c_0 - 2 u_3) - \frac{n+1}{2} \frac{\sigma_{kp}}{\rho_0} \right].
\end{aligned}$$

Постоянная  $\sigma_{kp}$ , входящая в коэффициенты, есть максимальное динамическое напряжение вещества оболочки на разрыв. Отколавшийся слой будет двигаться со скоростью, равной скорости движения свободной границы, определяемой формулой

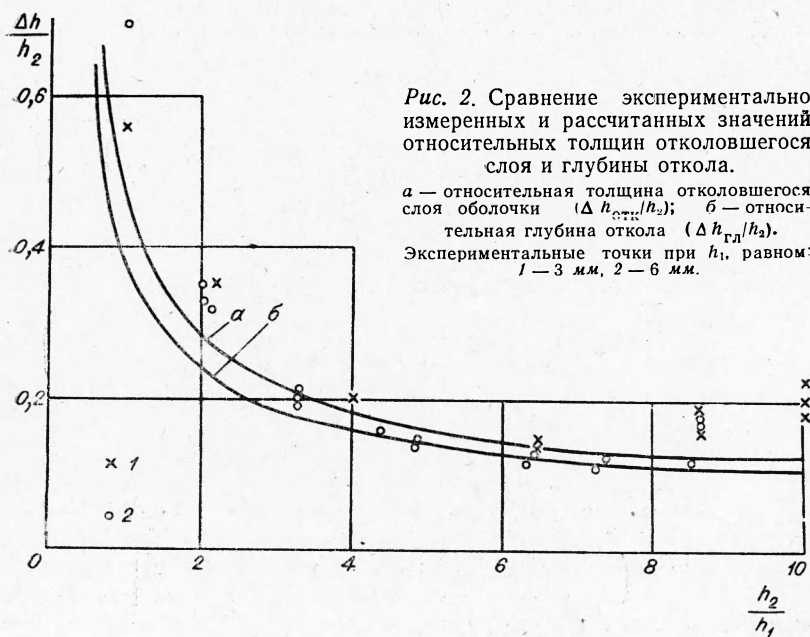
$$u = 2 u_E,$$

а массовая скорость вещества оболочки на вновь образовавшейся свободной границе после откола будет определяться соотношением

$$u_K = 2 u_E - \frac{\sigma_{kp}}{\rho_0 (c_0 - 2 u_E)}.$$

Толщины последующих отколавшихся слоев и скорости их движения, если они будут наблюдаться, рассчитываются по аналогии с первым отколавшимся слоем.

Для качественной проверки изложенной методики были проведены расчеты толщины отколавшегося слоя и скоростей его полета для же-



лезней оболочки различной толщины при взрыве на ее поверхности слоя тротила толщиной 3 и 6 мм. Исходные данные для расчетов принимались следующими [2—4]:  $c_0 = 3,8$  км/сек,  $n = 5,32$ ,  $\rho_0 = 7,85$  г/см<sup>3</sup>,  $\rho_{\infty} = 1$  г/см<sup>3</sup>,  $D = 4,7$  км/сек,  $\sigma_{kp} = 61600$  кГ/см<sup>2</sup>.

Результаты одного расчета приведены на рис. 2, 3. На рис. 2 нанесены также экспериментальные точки, взятые из [1].

Некоторое отличие расчетных и экспериментальных значений можно объяснить как приближенностью полученного решения, так и отсутствием в [1] данных по веществу оболочки и параметрам ВВ.

В заключение считаем своим долгом указать, что подобный подход к решению задач данного класса, основанный на применении инвариантов Римана, был разработан Е. И. Забабахиным, которому авторы выражают свою признательность.

Рис. 3. Зависимость скорости движения откололшегося слоя (1) и скорости движения границы оболочки после откола (2) от отношения толщины ВВ и оболочки.



Поступила в редакцию  
10/I 1969

#### ЛИТЕРАТУРА

- Д. С. Райнхарт, Д. Пирсон. Поведение металлов при импульсных нагрузках. М., ИЛ, 1958.
- Л. В. Альтшuler, К. К. Крупников и др. ЖЭТФ, 1958, 34, 4.
- Л. П. Орленко. Поведение материалов при интенсивных нагрузках. М., Машиностроение, 1964.
- Л. Д. Ландау, Е. М. Лифшиц. Механика сплошных сред. М., ГИТТЛ, 1953.

УДК 662.215.25+534.222.2

#### РАБОТА ПРОДУКТОВ ДЕТОНАЦИИ ПРИ ВЗРЫВЕ НА ВЫБРОС

А. Н. Ромашов, В. Ф. Евменов

(Москва)

Взрыв в безграничной среде обладает центральной симметрией. В окружающей среде в результате взрыва возникает движение, которое распространяется в виде волн сжатия и происходит в основном за счет некоторого импульса, сообщенного на начальных стадиях расширения продуктов детонации. В заключительных стадиях развития котловой полости продукты взрыва не играют существенной роли и среда движется